

电力系统非线性振荡过程的图析*

鮑 城 志

提 要

在本論文里,作者对一个由下列形式的三阶非线性微分方程

$$A \frac{d^3 \delta}{dt^3} + \frac{d^2 \delta}{dt^2} - A \cot \delta \frac{d\delta}{dt} \frac{d^2 \delta}{dt^2} + \left(\frac{P_i A}{M} \cot \delta + C \sin^2 \delta \right) \frac{d\delta}{dt} + B \sin \delta - \frac{P_i}{M} = 0$$

所表征的电力机械振荡问题,进行了透彻的拓扑形象分析,并提出了一简易图解法来计算这振荡系统的性能。文中还举出一实例来说明这种分析方法。

一、问题的提出

电力系统线路上的故障将会引起机组间的振荡,在严重情况下甚至会破坏该机组与系统的并列运行而产生崩溃事故,因此振荡问题在电力系统学科领域内,颇引起工作同志们的注意。为了使在理论分析上可能和在计算上简单,在一同步发电机接到无穷大汇流排的系统中,发电机组的振荡方程通常表示为

$$M \frac{d^2 \delta}{dt^2} = P_i - P_m \sin \delta, \quad (1)$$

式中 $M = I\omega$ ——角运动量; $P_i = T_i \omega$ ——除去转动损耗后的轴上输入功率; $P_m \sin \delta$ ——除去电气损耗后的电气输出功率。

在上式中,曾引进了两大假定,即 1) 系统内每一机组可以用一恒定纵轴瞬变电抗与这瞬变电抗后的恒定电压串联来表示; 2) 假定励磁回路的磁通在整个振荡过程中保持不变; 可是,如所周知,这两假定与实际情况还存在一定的距离,一组根据哥列夫-派克同步电机理论所导出的基本方程(见附录),应作为研究这类问题的依据。励磁回路磁通的恒定,原出于磁场电阻很小和振荡过程远小于系统时间常数的假定,可是,事实上它们并不是小到完全可忽略的程度,而在振荡过程中这磁通将会衰减,更不幸的是由于这恒定磁通的假定所导致的误差,将不是引向在安全的一边(见参考文献[1],考虑了和不考虑磁通衰减影响的两种不同情况计算结果的对比)。

考虑了采用哥列夫-派克的同步电机准确表示和磁通衰减的影响,我们将导出一个远较式(1)复杂的发电机组振荡方程,如式(2)所示(详细推导和符号说明请参阅附录 1)

$$A \frac{d^3 \delta}{dt^3} + \frac{d^2 \delta}{dt^2} - A \cot \delta \frac{d\delta}{dt} \frac{d^2 \delta}{dt^2} + \left(\frac{P_i}{M} A \cot \delta + C \sin^2 \delta \right) \frac{d\delta}{dt} +$$

* 1962 年 4 月 9 日收到。

$$+ B \sin \delta - \frac{P_i}{M} = 0. \quad (2)$$

由于非线性和大振荡原故,即使最简单的方程(1),通常也须采用分段算法来求解。曾有人建议过(参考文献[2])应用图解法来求解,考虑发电机阻尼绕组后的椭圆函数方程

$$\frac{d^2\delta}{dt^2} + \gamma \frac{d\delta}{dt} + P_m \sin \delta - P_i = 0 \quad (3)$$

大大地把振荡过程计算向前推进了一步。本文拟就考虑了磁通衰减影响和采用了同步电机的哥列夫-派克表示后的机组的振荡过程,作一拓扑图定性分析,和建议一简便的图解方法,来进行振荡过程的定量计算。

二、图析法的原理基础

1. 电力系统振荡过程的拓扑形象表示 在过去若干年代里,曾有人建议了许多不同的方法来应用到各种不同的振荡系统,并已把相平面法成功地应用在二阶非线性系统里。应用高于二度的空间来研究高阶非线性系统,屡在非线性力学文献中曾被建议采用过,最近的几个与本文所采用的相同坐标相空间的新应用,详见文献[3—9]。

如果把方程(2)的变数 δ , $\dot{\delta} = v$ 和 $\ddot{\delta} = g$ 为坐标组成一相空间,则电力机械振荡系统在任何一瞬间的情况,完全可以用这相空间里某一坐标点来表示。由于这三个变数相互间的不独立性, g 与 v 的符号和相对数值对系统的工作点移动方向,将起着决定性的作用。假如取这页纸的平面作为 $g-v$ 平面,而 δ 轴则与这页纸成垂直方向,则当这工作点在右面的半空间时, δ 总是在增加方向;反之,在左面半空间时, δ 总是在减少方向。同样,在上半空间时, v 总是在增加方向,下半空间时则相反。因此,我们可以看出,在这相空间右上部的一工作点的移动方向一定是向右和朝外,这工作点移动轨迹或称相空间轨线,便可以很好地描述出这系统在任何工作情况下的运动情况。

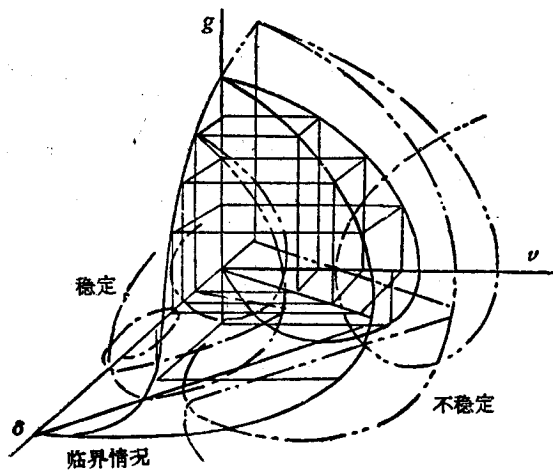


图 1

也可以从这轨线所走形状判断出来。假如这系统是稳定的,则这轨线将是环绕所谓这系统的稳定工作点的一根向内迴旋曲线,并且最终将停止在这稳定工作点上,换句话说,即 $\delta(t) \geq \delta(t+T)$, $v(t) \geq v(t+T)$, $g(t) \geq g(t+T)$, 式中 T 是振荡周期(这稳定工作点和这迴旋曲线的形状是由这系统的特性方程决定)。如系统不稳定, $\delta(t)$ 函数将与

时俱增。在这种情况下,在 $g-v-\delta$ 图中的軌綫将不再环绕着某一稳定工作点而最后停止在这点上面,而可能是环绕这点向外地越绕越大,或者甚至不环绕这工作点而直接飞越出去,也就是根据不同的起始情况而产生不同的瞬变过程。图 1 给出稳定、不稳定和临界情况的三种不同振荡过程在相空间上的表示。

2. 分析方法 如上所述,这电力机械振荡瞬变过程,可以以 $g-v-\delta$ 的三度空间的相空间軌綫来描述,这振荡系统的特性,可以根据它的特性方程所构成的相空间拓扑图形来研究。以 $v = \frac{d\delta}{dt}$, $g = \frac{d^2\delta}{dt^2}$ 和 $g \frac{dg}{dv} = \frac{d^3\delta}{dt^3}$ 代入(2)式,则方程(2)可写成

$$\frac{dg}{dv} = \frac{-\frac{1}{A}g - \frac{B}{A}\sin\delta + \frac{P_i}{AM} + \left(\cot\delta \cdot g - \frac{P_i}{M}\cot\delta - \frac{C}{A}\sin^2\delta\right)v}{g}. \quad (4)$$

在上式中,如果假定 δ 等于某一固定值 δ_i , 式(4)将变成 g 与 v 的一阶方程,根据这方程便能作出当这振荡系统角位移值变化到 $\delta = \delta_i$ 时 g 与 v 的关系图($g-v$ 相平面图),这些 $g-v$ 相平面图将相应于表示这振荡系统的相空间图沿 δ 轴上的各个截面,也就是这振荡系统在任何起始条件下的相空间軌綫经过这 δ 等于 δ_i 时 g 与 v 的关系。由于 g 、 v 与 δ 间的不独立性,我们便不难根据 $\frac{\Delta v}{\Delta \delta} = \frac{g}{v}$ 关系推导出任一截面图($\delta = \delta_i$)上任何一点 $P(g_i, v_i, \delta_i)$ 的下一步行程。因此应用这样一组具有一定 δ 间隔的 $g-v$ 截面图和 $\frac{\Delta v}{\Delta \delta} = \frac{g}{v}$ 关系,便不难观察到这振荡系统运动过程在相空间的全貌,同时还能定量地求出在任何起始条件下的相空间軌綫和这系统振荡对时间的瞬变过程(δ 的对时间函数)。

3. $g-v$ 相平面图的繪图法 在某一瞬间假如 δ 等于 δ_i (某一固定值),如前节所述,式(4)将可写成为 g 与 v 的一阶方程

$$\frac{dg}{dv} = \frac{-F(g) - v}{\Phi(g)}, \quad (5)$$

式中

$$F(g) = \frac{\frac{1}{A}g + \frac{B}{A}\sin\delta_i - \frac{P_i}{AM}}{-\cot\delta_i g + \frac{P_i}{M}\cot\delta_i + \frac{C}{A}\sin^2\delta_i},$$

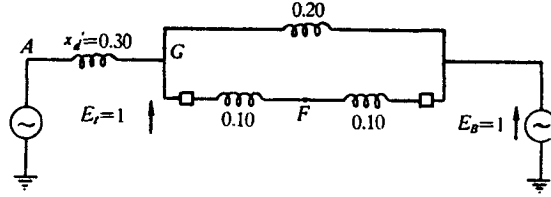
和

$$\Phi(g) = \frac{g}{-\cot\delta_i g + \frac{P_i}{M}\cot\delta_i + \frac{C}{A}\sin^2\delta_i}.$$

应用李恩那繪图法并加以修改和补充,便可以根据式(5)的关系和图 2 所示的方法,作出 $g-v$ 平面上的一组 $g-v$ 变化曲綫。假如曲綫 1 和 2 分别为 $v = -F(g)$ 和 $v = \Phi(g)$, AA' 等于 $BB' = \Phi(g)$, 直綫 PA' 的斜率将为 $m = \frac{\Phi(g)}{v + F(g)}$, 与 PA' 垂直的綫的斜率将为 $-\frac{1}{m}$, 等于 $-\frac{F(g) - v}{\Phi(g)}$, 恰与式(5)相同,利用这关系,任何点 $P(v, g)$ 的移动方向可以被决定。沿水平方向投射这点 P , 使与 $v = -F(g)$ 曲綫相交于 A , 再沿垂直方

三、实 例

为了更好地说明这分析方法, 让我们举出一个具体例子来研究, 参数如图 3 所示.



$$\begin{aligned}
 x_d &= 1.15 \text{ 标么值} & M_{fd} &= 1.0 \text{ 标么值} \\
 x_q &= 0.75 \text{ 标么值} & L_f &= 1.15 \text{ 标么值} \\
 x_d' &= 0.30 \text{ 标么值} & R_f &= 0.00047 \text{ 标么值} \\
 T_{d'0} &= 6.6 \text{ 秒} & M &= 2.56 \times 10^{-6} \frac{\text{标么值功率} \cdot \text{秒}^2}{\text{度}}
 \end{aligned}$$

图 3

把这些参数代入(2)式, 即得

$$\begin{aligned}
 \frac{d^3 \delta}{dt^3} + 0.501 \frac{d^2 \delta}{dt^2} - \cot \delta \frac{d\delta}{dt} \frac{d^2 \delta}{dt^2} + 3122 \cot \delta \frac{d\delta}{dt} + \\
 + 14.31 \sin^2 \delta \frac{d\delta}{dt} + 727.6 \sin \delta - 630 = 0, \quad (6)
 \end{aligned}$$

如将 δ 用弧度来表示并采用一新时间变数 $\tau = 3t$, 同时将 $\frac{d^2 \delta}{dt^2} = \frac{1}{9} \frac{d^2 \delta}{d\tau^2}$, $\frac{d\delta}{dt} = \frac{1}{3} \frac{d\delta}{d\tau}$ 和 $\frac{d^3 \delta}{dt^3}$ 分别用 g' 、 v' 和 $g' \frac{dg'}{dv'}$ 代替, 式(6)于是变成

$$\begin{aligned}
 g' \frac{dg'}{dv'} + 0.167 g' - \cot \delta g' v' + 6.05 \cot \delta v' + \\
 + 0.0278 \sin^2 \delta v' + 0.47 \sin \delta - 0.407 = 0. \quad (7)
 \end{aligned}$$

当这方程的以 g' 、 v' 和 δ 为坐标的空间轨线经过 $\delta = \delta_i$ 附近时, 我们便可以假定 $\delta = \delta_i =$ 某一数值, 在这瞬间, 这方程便相当于 g' 与 v' 的一阶方程

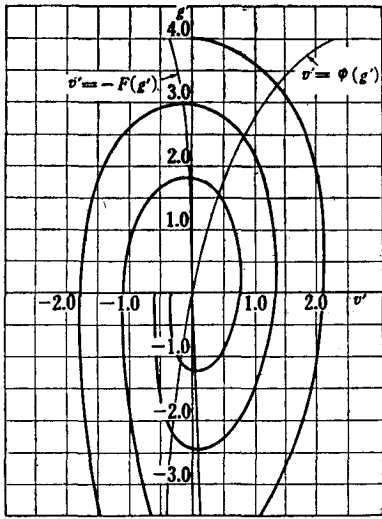
$$\frac{dg'}{dv'} = \frac{-F(g') - v'}{\phi(g')}, \quad (8)$$

式中

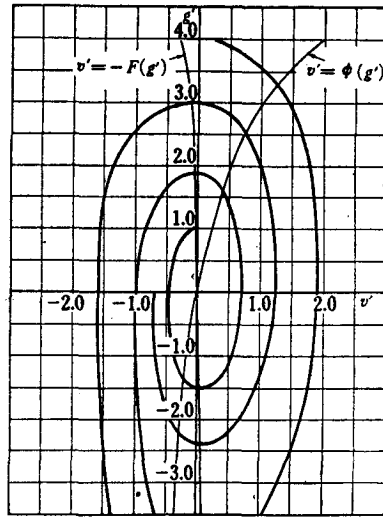
$$\begin{aligned}
 F(g') &= \frac{0.167 g' + 0.47 \sin \delta_i - 0.407}{-\cot \delta_i g' + 6.05 \cot \delta_i + 0.0278 \sin^2 \delta_i}, \\
 \phi(g') &= \frac{g'}{-\cot \delta_i g' + 6.05 \cot \delta_i + 0.0278 \sin^2 \delta_i}.
 \end{aligned}$$

一组相当于各个 δ 数值的 $g-v$ 轨线, 便可以画出, 如图 4(a) 到 (f) 所示.

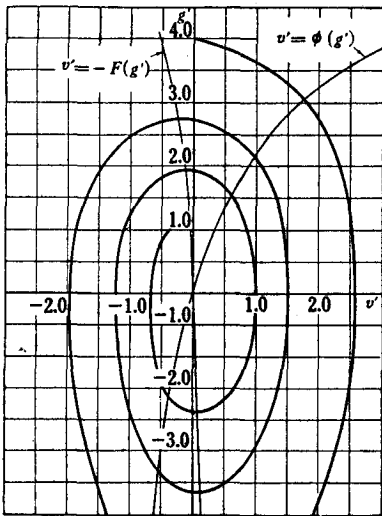
假定这瞬变过程从 $g_0 = 36 \left(g'_0 = \frac{36}{9} = 4 \right)$, $v_0 = 0 \left(v'_0 = \frac{0}{3} = 0 \right)$, $\delta = 45^\circ = 0.7854$ 弧度开始(起始条件), 选择 $\Delta \delta_1 = 5^\circ = 0.0873$ 弧度, 便可求得 $\Delta v'_{1a} = \sqrt{g'_0 \Delta \delta_1} = \sqrt{4 \times 0.0873} = 0.591$, v'_{1a} 因此等于 $v'_0 + \Delta v'_{1a} = 0.591$, 从图 $\delta_i = 45^\circ = 0.7854$ 弧度(图 4(a))上的 $g-v$ 轨线, 求得 $g'_{1a} = 3.84$. 同样的在图 $\delta = 50^\circ = 0.872$ 弧度(图 4(b))上,



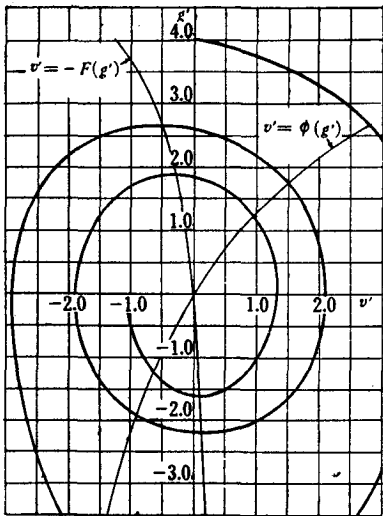
(a) $\delta = 45^\circ$



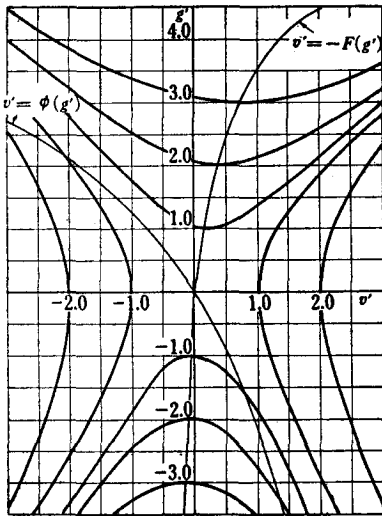
(b) $\delta = 50^\circ$



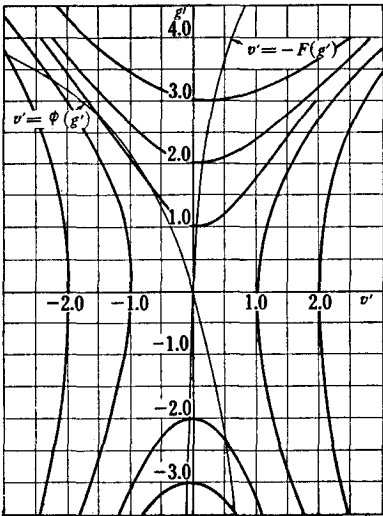
(c) $\delta = 60^\circ$



(d) $\delta = 75^\circ$



(e) $\delta = 105^\circ$



(f) $\delta = 120^\circ$

求得 $g'_{1a} = 3.82$, 它们的平均数值 $g'_{1aav} = 3.83$, $v'_{1a} = 0.591$, 将被取来当作 $\delta = 50^\circ = 0.872$ 弧度时 g'_1 和 v'_1 的第一近似值。利用这对数值来求得 $\Delta v'_{1b} = \frac{g'_{1aav}}{v'_{1a}} \Delta \delta_1 = \frac{3.83}{0.591} \times 0.0873 = 0.566$, v'_{1b} 因此等于 $v'_0 + \Delta v'_{1b} = 0.566$, 从图 $\delta_i = 45^\circ$ 和 $\delta = 50^\circ$ (图 4a 和 b) 上的 $g-v$ 曲线求得 $g'_{1b} = 3.84$ 和 3.84 , 它们的平均数值 $g'_{1bav} = 3.84$, $v'_{1b} = 0.566$ 便是 $\delta = 50^\circ$ 时 g'_1 和 v'_1 的第二近似值, 同样可以求得 g'_1 和 v'_1 的第三近似值 $g'_{1cav} = 3.83$ 和 $v'_{1c} = 0.591$ 和 g'_1 和 v'_1 的第四近似值 $g'_{1dav} = 3.84$ 和 $v'_{1d} = 0.566$ 。引用其他数值计算的法則, 相应于 $\delta = 50^\circ$ 时的 g'_1 和 v'_1 分别为

$$g'_1 = \frac{1}{6} (g'_{1aav} + 2g'_{1bav} + 2g'_{1cav} + g'_{1dav}) = 3.835,$$

和

$$v'_1 = \frac{1}{6} (v'_{1a} + 2v'_{1b} + 2v'_{1c} + v'_{1d}) = 0.5785.$$

第二个微增量 $\Delta \delta_2 = 10^\circ = 0.1746$ 弧度, $\Delta v'_{2a} = \frac{g'_1}{v'_1} \Delta \delta_2 = \frac{3.835}{0.5785} \times 0.1746 = 1.157$ 弧度/秒, 从图 $\delta = 50^\circ$ 和 $\delta = 60^\circ$ 上求得 $g'_{2a} = 2.6$ 和 3.05 , 相应于 $\delta = 60^\circ$ 时 g'_2 和 v'_2 的第一近似值因此等于 $g'_{2aav} = \frac{1}{2} (2.6 + 3.05) = 2.83$ 和 $v'_{2a} = v'_1 + \Delta v'_{2a} = 0.5785 + 1.157 = 1.736$ 。同样地可求得第二近似值 $g'_{2bav} = 3.69$, $v'_{2b} = 0.863$, 第三近似值 $g'_{2cav} = 3.37$, $v'_{2c} = 1.324$ 和第四近似值 $g'_{2dav} = 3.60$, $v'_{2d} = 1.024$ 。相应于 $\delta = 60^\circ$ 时的 g'_2 和 v'_2 分别为

$$g'_2 = \frac{1}{6} (g'_{2aav} + 2g'_{2bav} + 2g'_{2cav} + g'_{2dav}) = 3.425,$$

$$v'_2 = \frac{1}{6} (v'_{2a} + 2v'_{2b} + 2v'_{2c} + v'_{2d}) = 1.189,$$

依此类推, $g'_3, g'_4, \dots; v'_3, v'_4, \dots; \delta_3, \delta_4, \dots$ 便不难求得(见表 1)。假使 g, v 和 δ 的数值点在一三度空间的坐标上, 将能得出一空间曲线来表示出在瞬变状态时这三个变量的关系。把 $1/v$ 与 δ 数值点在方格坐标上, 从曲线下面积, 将可得出相应的時間, 因此, 这电力机械振荡曲线 (δ 对 t 的函数) 便不难求出如图 5 所示, 在同图上同时画出应用数值计算所得的结果以作比较。

表 1

δ (弧度)	$v' = \frac{d\delta}{d\tau}$	$g' = \frac{d^2\delta}{d\tau^2}$	$v = \frac{d\delta}{dt}$ 弧度/秒	$g = \frac{d^2\delta}{dt^2}$ 弧度/秒 ²	$1/v$
0.7854(45°)	0	4.0	0	36	∞
0.872(50°)	0.5785	3.835	1.74	34.5	0.575
1.045(60°)	1.189	3.425	3.57	30.8	0.280
1.310(75°)	1.695	3.070	5.08	27.6	0.197
1.570(90°)	2.075	2.960	6.22	26.6	0.161
1.830(105°)	2.415	3.047	7.25	27.4	0.138
2.100(120°)	2.734	3.310	8.20	29.8	0.122

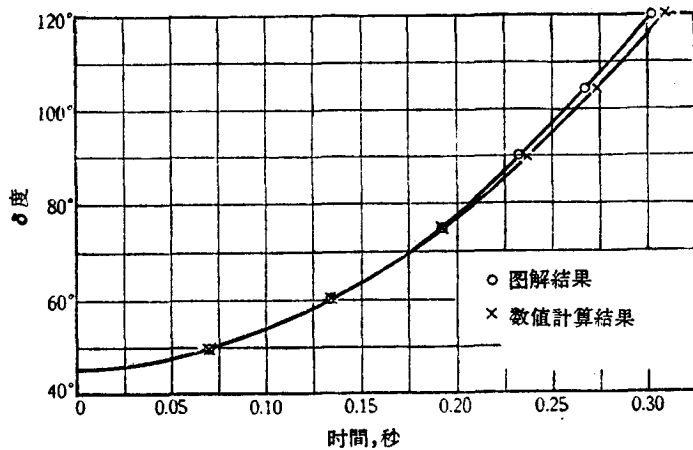


图 5

四、結 論

应用本文的分析方法,可以对电力机械振荡问题作进一步深入的分析,把在振荡过程中励磁回路磁通衰减的影响考虑进去和采用哥列夫-派克的电机准确表示方法,使分析结果与实际情况更接近一步。

通过拓扑图形分析,可以看出,这电力机械振荡系统在某一起始条件下的不稳定的瞬变过程可能是很明显地飞越出去,也可能是往复几次后才趋于崩溃的(曾把这问题放在模拟计算机上研究,得出同样结果)。因此在一般采用分段算法来求解的过程中,当 δ 数值一开始回降便认为这系统是稳定而不需再继续计算下去,这样做似欠安全。

用相空间方法来研究电力机械非线性振荡系统有它一定的价值,它将能帮助我们得到这系统反应的拓扑形象表示,从而可以更容易地看出这振荡系统的本质。

采用本文后部所建议的图解方法,求解象这样复杂的问题所需的时间,主要是耗在轨线的描画上,已知一起始条件后去求这瞬变过程所费的时间很少,因此一旦这些轨线被描画出,便能容易地找出在许多不同的起始情况下的瞬变过程,这在用探测法的工程计算如上述问题的动态稳定极限计算时很有帮助。

这个分析和计算方法,和其它方法一样,也可以借助数字或模拟计算机来进行。但是因为这方法是根据系统运动方程的拓扑形象分析,不单纯是数值计算,因此在图解过程中更能得出这非线性系统本质的概貌,捉摸得住这系统的变化规律,而不至为这复杂的数学所迷惑。在定性分析时能得到定量的关系,在定量分析时也能得到定性的概念。

本文所建议的分析方法,可以应用到电力机械振荡以外的非线性振荡系统,并可把这原理推广应用到三阶以上的非线性振荡问题。

附 录

根据哥列夫-派克同步电机理论和图 3 的网络并考虑磁通衰减影响,可以写出下列一组基本方程(见图 6):

$$e_d = x_d i_d, \quad (\text{A1})$$

$$e_q = E_{fd} - x_d i_d, \quad (\text{A2})$$

$$x_d = \omega L_d, \quad (\text{A3})$$

$$x_q = \omega L_q, \quad (\text{A4})$$

$$E_{fd} = \omega M_{fd} i_f, \quad (\text{A5})$$

$$P_u = (E_{fd} - (x_d - x_q) i_d) i_q, \quad (\text{A6})$$

$$i_d = \frac{e_q}{x_p} - \frac{E_B}{x_B} \cos \delta, \quad (\text{A7})$$

$$i_q = -\frac{e_d}{x_p} + \frac{E_B}{x_B} \sin \delta, \quad (\text{A8})$$

$$e_f = (L_f p + R_f) i_f - M_{fd} p i_d, \quad (\text{A9})$$

$$M \frac{d^2 \delta}{dt^2} = P_i - P_u. \quad (\text{A10})$$

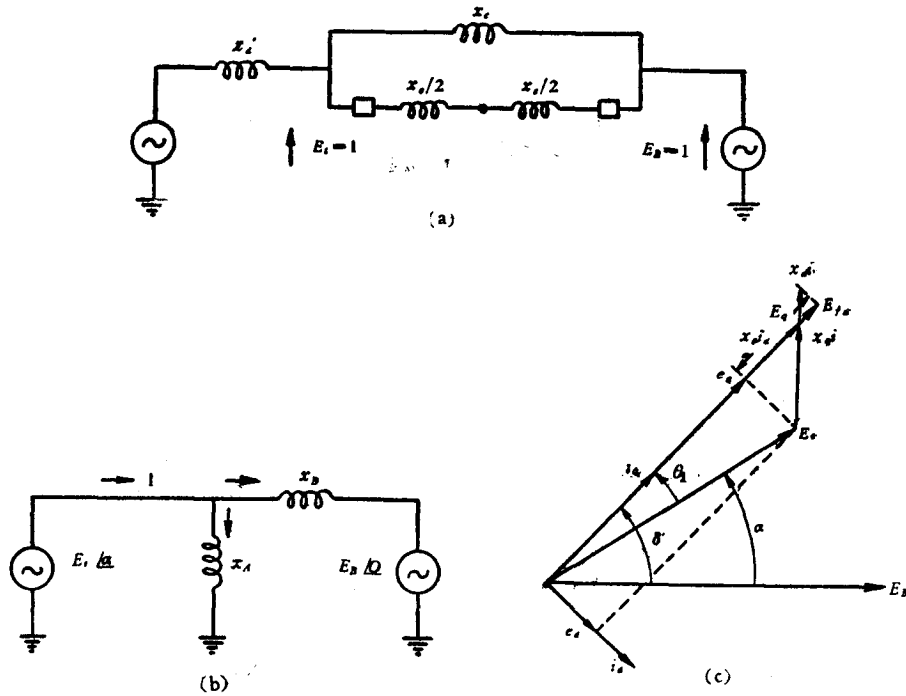


图 6

从这组方程便可以导出下列一对联立方程:

$$M \frac{d^2 \delta}{dt^2} = P_i - \frac{\omega M_{fd} x_p E_B}{x_B (x_p + x_d)} i_f \sin \delta - \frac{(x_d - x_q) x_p^2 E_B^2}{2 x_B^2 (x_p + x_q) (x_p + x_d)} \sin 2\delta, \quad (\text{A11})$$

$$\left(L_f - \frac{\omega M_{fd}^2}{x_p + x_d} \right) \frac{di_f}{dt} = e_f - R_f i_f + \frac{M_{fd} x_p E_B}{x_B (x_d + x_p)} \sin \delta \frac{d\delta}{dt}. \quad (\text{A12})$$

消除 i_f (由于非线性关系在消除 i_f 过程中不能采用 p 式, 否则将遗漏两个主要项), 即得变数 δ 的三阶非线性方程

$$\begin{aligned} & \frac{1}{R_f} \left(L_f - \frac{\omega M_{fd}^2}{x_d + x_p} \right) \frac{d^3 \delta}{dt^3} + \frac{d^2 \delta}{dt^2} - \frac{1}{R_f} \left(L_f - \frac{\omega M_{fd}^2}{x_d + x_p} \right) \cot \delta \frac{d\delta}{dt} \frac{d^2 \delta}{dt^2} + \\ & + \left[\frac{P_i}{MR_f} \left(L_f - \frac{\omega M_{fd}^2}{x_d + x_p} \right) \cot \delta + \frac{\omega M_{fd}^2 E_B^2 x_p^2}{MR_f x_B^2 (x_d + x_p)^2} \sin^2 \delta \right] \frac{d\delta}{dt} + \\ & + \frac{\omega M_{fd} x_p E_B e_f}{MR_f x_B (x_d + x_p)} \sin \delta - \frac{P_i}{M} = 0. \end{aligned} \quad (A13)$$

若代入下列式子:

$$\begin{aligned} A &= \frac{1}{R_f} \left(L_f - \frac{\omega M_{fd}^2}{x_d + x_p} \right); \\ B &= \frac{\omega M_{fd} x_p E_B e_f}{MR_f x_B (x_d + x_p)}; \\ C &= \frac{\omega M_{fd}^2 x_p^2 E_B^2}{MR_f x_B^2 (x_d + x_p)^2} \end{aligned}$$

则方程(13)可以写成

$$\begin{aligned} & A \frac{d^3 \delta}{dt^3} + \frac{d^2 \delta}{dt^2} - A \cot \delta \frac{d\delta}{dt} \frac{d^2 \delta}{dt^2} + \left(\frac{P_i A}{M} \cot \delta + C \sin^2 \delta \right) \frac{d\delta}{dt} + \\ & + B \sin \delta - \frac{P_i}{M} = 0. \end{aligned} \quad (A14)$$

符 号 说 明

E_{fd} = 与 i_f 成正比的电压;	E_B = 无穷大汇流排的电压;
E_t = 发电机端电压;	e_d = 发电机端电压的纵轴分量;
e_q = 发电机端电压的横轴分量;	e_f = 励磁电压;
i_d = 电枢电流的纵轴分量;	i_q = 电枢电流的横轴分量;
i_f = 励磁电流;	L_d = 纵轴电枢自感;
L_q = 横轴电枢自感;	L_f = 磁场自感;
$X_A X_B$ = 电抗;	X_d = 电机纵轴电抗;
X_q = 电机横轴电抗;	X_d' = 电机纵轴瞬变电抗;
X_e = 外电抗;	X_p = X_A 与 X_B 并联等值电抗;
R_f = 磁场电阻;	M_{fd} = 磁场和电枢纵轴间互感.

参 考 文 献

- [1] Van Ness, J. E., Synchronous Machine Analog for Use With the Network Analyzer, *Power Apparatus and Systems*, Oct. 1954, pp 1054-60.
- [2] Goodrich, R. D., Accurate Computation of 2-Machine Stability, *Trans. AIEE.*, 71 Pt III 1952, pp 577-81.
- [3] Ku, Y. H., Acceleration Plane Method for Non-linear Oscillation, Symposium on Non-linear Circuit Analysis, Brooklyn Polytechnic Institute, J. W. Edwards Bros. Ann Arbor, Dec. 1953.
- [4] Hopkin, A. M. & Morimi Iwama, A Study of a Predictor-type Air-frame Controller Designed by Phase Space Analysis, *Trans. AIEE Pt II*, 75, 1956, pp 1-9.
- [5] Bow, S. T. and J. E., Van Ness, Use of Phase Space in Transient Stability Studies, *Trans. AIEE. Pt*

II 77, 1958, pp 187-91.

- [6] Хухриков С. С., Приближенный численный метод расчета переходных процессов в линейных и нелинейных системах, Государственное Издательство Оборонной Промышленности, 1957.
- [7] Башарин, А. В., Расчет нелинейных систем управления, Государственное Энергетическое Издательство, 1960.
- [8] 鮑城志, 图解三次非綫性微分方程, 中国科学院机电研究所研究报告, 1957年10月.
- [9] 鮑城志, 自动控制系統中高阶非綫性方程的图解法, 中国科学院电工研究所研究报告, 1959年7月.

GRAPHICAL ANALYSIS OF THE NONLINEAR POWER SYSTEM OSCILLATION

S. T. Bow

ABSTRACT

In this paper the author has made a complete topological analysis on a machine oscillation problem governed by a third order nonlinear differential equation of the following form:

$$A \frac{d^3 \delta}{dt^3} + \frac{d^2 \delta}{dt^2} - A \cot \delta \frac{d\delta}{dt} \frac{d^2 \delta}{dt^2} + \left(\frac{P_i A}{M} \cot \delta + C \sin^2 \delta \right) \frac{d\delta}{dt} + B \sin \delta - \frac{P_i}{M} = 0$$

and has suggested a simple graphical method for the system performance computation. A numerical example is given for illustration.

关于核子与氘核散射相移的非单值性一文的更正

时 学 丹

(内蒙古大学)

在物理学报 18 卷 4 期发表的“核子与氘核散射相移的非单值性”一文中, (16)式及(17)式有誤, 应作以下更正

$$\left. \begin{aligned} \delta_{j+\frac{3}{2}}^j &= \delta_{j-\frac{1}{2}}^j, \\ \delta_{j+\frac{1}{2}}^j &= \delta_{j-\frac{3}{2}}^j, \\ \delta_{j-\frac{1}{2}}^j &= \delta_{j+\frac{3}{2}}^j, \\ \delta_{j-\frac{3}{2}}^j &= \delta_{j+\frac{1}{2}}^j, \end{aligned} \right\} \text{改为} \left. \begin{aligned} \delta_{j+\frac{3}{2}}^j &= \delta_{j-\frac{3}{2}}^j, \\ \delta_{j+\frac{1}{2}}^j &= \delta_{j-\frac{1}{2}}^j, \\ \delta_{j-\frac{1}{2}}^j &= \delta_{j+\frac{1}{2}}^j, \\ \delta_{j-\frac{3}{2}}^j &= \delta_{j+\frac{3}{2}}^j. \end{aligned} \right\} \quad (16)$$

以及

$$\varepsilon_{j+\frac{3}{2}}^j = \operatorname{tg}^{-1} \frac{\sqrt{3}}{2\sqrt{(j-\frac{1}{2})(j+\frac{3}{2})}} - \varepsilon_{j+\frac{3}{2}}^j \text{ 改为 } \varepsilon_{j+\frac{3}{2}}^j = \operatorname{tg}^{-1} \frac{\sqrt{3}}{2\sqrt{(j-\frac{1}{2})(j+\frac{3}{2})}} - \varepsilon_{j+\frac{1}{2}}^j, (17)$$

作者感谢黄念宁同志^[1]指出此处錯誤。

[1] 黄念宁: 論散射过程相移分析中的不定性問題(待发表)。